

報 文

화학공학, 제9권 제4호
J. KICHE, Vol. 9, No. 4,
Dec. 1971.

回分 蒸溜工程에 있어서의 分離度

回分蒸溜에 關한 研究(1)

李 承 務* · 趙 英 一* · 趙 晶 來*

The Rate of Separation in Batch Distillation

*Sung Moo Lee · *Yung-il Joe · *Jeong Lae Cho

Dept. of Chem. Eng., College of Sci. and Eng., Yonsei Univ.

Abstract

The study is concerned with the separation of binary mixtures in the fractional batch distillation under various conditions of still composition, relative volatility, reflux ratio and holdup.

The rate of separation is defined as the rate of change in the still composition with respect to the operating time. Under proper assumptions a theoretical equation relating the still composition with the operating time was derived as;

$$\ln \frac{x_{so}(1-x_s)}{x_s(1-x_{so})} + k \frac{(x_{so}-x_s)}{(1-x_s)(1-x_{so})} = \frac{V}{R+1} \theta$$

The equation was compared with experimental results obtained with two binary mixtures, i. e., benzene-toluene and benzene-carbon tetrachloride, in a Oldershaw-type batch distillation apparatus.

The equation predicted reasonably well the experimental results for the benzene-toluene system. For the benzene-carbon tetrachloride system the equation tended to agree with experimental results as the concentration of the more volatile component increased.

1. 序 論

定常狀態에서任意段의 증기의濃度를 計算하기 為하여 Lewis⁹는 逐次段計算式(plate-to-plate calculation)을 誘導했고, McCabe-Thiele¹⁰ 와 Bogart¹¹들은 이 Lewis의 理論式을 利用하여 이론단과組成을 쉽게 구할 수 있는 圖解法(graphical method)을 理論化함으로서 回分蒸溜工程에 關한 研究가 活發해졌다. 한편 Colburn과 Stearn⁴은 Young³², Rayleigh^{10, 14, 16}들이 단종류식을 誘導했던 것과 같은 方法에 依하에 처음으로 holdup을 도입하여 $S=f(\chi_D, H)$ 의 함수관계를 가진 理論式을 유도함으로서 holdup이 종류공정에 있어서 分離度에 關與하는 主要한 因子임을 밝혔다. 또한 Rose^{21, 23, 24, 26, 27, 29}는 종류공정에서는 많은 변수인자가

관여되어 그 이론이 매우 복잡하고 어려움을 밝혔으며, 특히 이 中에서 분리도에 영향을 주는 인자들로서는 相對揮發度 α , 還流比 R , holdup H , 段數 t 等이라고 하였다. 이 因子들에 對하여 Rose, Pigford¹⁵, Smoker^{30, 31}, Jesser⁷, Brown², Johnstone⁸들은 通常의 가정¹⁹에 준하여 고찰하고 복잡한 理論式을 體系化하여 회분식중류공정에 많은 공헌을 한 바 있다. 그러나 이들의 연구는 주로 유출물(overhead product) 中 고취발성成分(more volatile component, 이하 mvc라고 칭한다)의組成 χ_D 와 charge의 量에 對한 溜出된 量과의 關係를 考察하고 종류공정에 관여하는 因子들에 依한 部分의 종류효과를 연구한 것이었다. 그러나 지금까지 still pot內의 mvc 농도가 時間經過에 따른 變化를 中心으로 하여 考察하여 본 바는 없었다. 이에 關하여 A. O. Converse 와 G. D. Gross³들의 연구가

* 延世大 理工大 化學工學科

있기는 하나 이는 holdup 을 無視한 것이었다.
本研究에서는 非定常狀態에서 still pot 内의 *mvc* 濃度가 時間經過에 따른 變化를 分離速度로 定義하고 必要한 가정을 設定하여 종류속도식을 誘導하였다. 또 이 理論式을 實驗結果와 比較하여 이 식의 타당성을 고찰하였다. 特히 α , R , H , charge composition 等이 分離度에 미치는 영향에 對하여 綜合的으로 考察하였다.

2. 理論式의 誘導

종류분리속도식을 유도하기 위하여 Fig. 1 과 같은 mathematical model 을 설정하고 이에 따른 필요한 가정을 다음과 같이 취하였다.

1. $V_1 = V_2 = \dots = V$
2. $L_1 = L_2 = \dots = L$
3. Vapor 的 holdup 을 無視한다.
4. 任意의 段 n 에 있어서의 液相 中의 *mvc*濃度는 그 段에서는 均一하다.
5. 吸收기와 line 中에 관류하는 holdup 은 無視한다. 即 $y_i = \chi_D$
6. 吸收기는 total condenser 와 같이 作用한다.

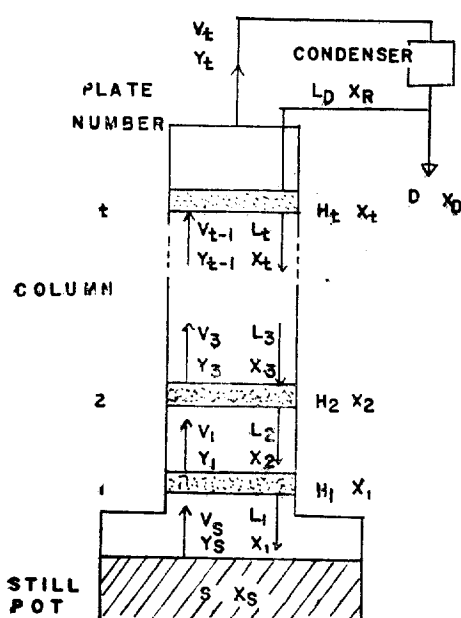


Fig. 1. Batch Distillation Column.

7. 各段의 holdup 量은 同一하다.

即 $H_1 = H_2 = \dots = H$

8. 各段의 效率은 100% 이다.

9. Fluid dynamic lag⁵⁾ 을 無視한다.

10. 종류탑에서의 heat loss 는 없다.

Fig. 1. 에서와 같이 任意時間에 still pot 内에 残存하고 있는 溶液의 量을 S , 이 용액중의 *mvc*의 分率을 χ_s 라고 할 때 微分時間 $d\theta$ 동안의 still pot 内의 *mvc*의 量의 變化는 다음과 같다.

$$d(S\chi_s) = S d\chi_s + \chi_s dS = (L\chi_1 - Vy_s) d\theta \quad (1)$$

따라서 still pot 内에서 *mvc*의 濃度의 變化速度는

$$\frac{d\chi_s}{d\theta} = \frac{1}{S} (L\chi_1 - Vy_s - \chi_s \frac{dS}{d\theta}) \quad (2)$$

한편 still pot 에 對한 物質收支는

$$-\frac{dS}{d\theta} = L - V = D \quad (3)$$

(3)式을 (2)式에 代入하여 整理하면,

$$\frac{d\chi_s}{d\theta} = -\frac{1}{S} (L\chi_1 - Vy_s + D\chi_s) \quad (4)$$

또한 任意의 n 段에 對한 物質收支는 다음과 같이 된다.

$$\frac{d\chi_n}{d\theta} = \frac{1}{H} [V(y_{n-1} - y_n) + L(\chi_{n+1} - \chi_n)] \quad (5)$$

따라서 still pot 에서 最上段까지의 系 全體에 對하여 收支를 取하여 整理하면,

$$\begin{aligned} & \frac{S}{H} \frac{d\chi_s}{d\theta} + \frac{d\chi_1}{d\theta} + \dots + \frac{d\chi_t}{d\theta} \\ &= \frac{D}{H} [(R+1)\chi_s + R\chi_1 - (R+1)\chi_D + R\chi_D] \\ &= \frac{D}{H} (\chi_s - \chi_D) \end{aligned} \quad (6)$$

여기서 total holdup 中의 *mvc*의 平均體積分率을 χ_h 로 놓으면

$$\chi_h = \frac{1}{t} \sum_{n=1}^t \chi_n$$

과 같이 된다. 이를 微分하여 (6)式에 代入하면

$$\frac{S}{H} \frac{d\chi_s}{d\theta} + t \frac{d\chi_h}{d\theta} = \frac{D}{H} (\chi_s - \chi_D) \quad (7)$$

또는

$$S \frac{d\chi_s}{d\theta} + \sum H \frac{d\chi_h}{d\theta} = D(\chi_s - \chi_D) \quad (8)$$

(8)式에서 $\sum H d\chi_h$ 는 column 中의 mvc 만의 holdup 量 dh 에 해당된다. 한편 Rose 의 關係式²⁰⁾인

$$h = \sum H \frac{\log(1 + \chi_s(\alpha^t - 1))}{\log \alpha^t}$$

를 χ_s 에 對하여 微分하여 (8)式에 代入하고 整理하면

$$\frac{d\chi_s}{d\theta} \left[S + \frac{b\beta}{1+b\beta} \right] = D(\chi_s - \chi_D) \quad (9)$$

여기서,

$$\begin{aligned} \hat{b} &= \frac{H}{\log \alpha} \\ b &= \alpha^t - 1 \end{aligned}$$

그리고 $\alpha \gg 1$ 일 때, $t \gg 1$ 이면 $\frac{1}{b} = 0$ 이 되므로 (9)식은

다음과 같이 쓸 수 있다.

$$\frac{d\chi_s}{d\theta} \left(S + \frac{\beta}{\chi_s} \right) \cong D(\chi_s - \chi_D) \quad (10)$$

式(10) 中의 S 를 χ_s 의 함수로 나타내기 為하여 Rose¹⁷⁾ 的 理論式을 利用한다.

$$S = K \frac{\chi_s^p}{(1-\chi_s)^{p+1}} - \frac{Ab}{(1-\chi_s)^{p+1}} \quad (11)$$

여기서

$$A = \frac{\sum H}{\log \alpha^t}$$

$$\begin{aligned} P &= \frac{1}{b} = \frac{1}{\alpha^t - 1} \\ K &= \text{常數} \end{aligned}$$

常數 K 는 total reflux 를 시켜서 正常狀態를 維持하게 한 後, 任意의 reflux ratio 로서 操作하고자 할 때의 初期條件에서 求하였다²⁰⁾. $P=0$ 일 때 式(11)는 다음과 같이 간단한 式으로 나타낼 수 있다.

$$S \cong \frac{K - Ab}{1 - \chi_s} = \frac{k}{1 - \chi_s} \quad (12)$$

한편 χ_s 와 χ_D 의 함수관계를 總括物質收支로부터 求하면 다음과 같이 쓸 수 있다.

$$\chi_D = \frac{\phi' - \frac{k\chi_s}{1 - \chi_s}}{\phi - \frac{k}{1 - \chi_s}} \quad (13)$$

여기서,

$$\phi = S_T - \sum H$$

$$\phi' = S_F \chi_F - \sum H \chi_h$$

式(12)와 式(13)을 式(10)에 代入하여 整理하면,

$$\frac{\{(k-\beta)\chi_s + \beta\} \{\phi - \phi\chi_s - k\}}{\chi_s (1-\chi_s)^2 (\phi\chi - \phi')} d\chi_s = \frac{V}{R+1} d\theta \quad (14)$$

이를 積分하여 整理하면,

$$\ln \frac{(\chi_s)^c (\phi\chi_s - \phi')^{g/\phi}}{(1-\chi_s)^f} + \frac{d}{1-\chi_s} = \left(\frac{V}{R+1} \right) \theta + C \quad (15)$$

여기서

$$c = \frac{\beta(k-\phi)}{\phi'}$$

$$d = \frac{-k^2}{\phi - \phi'}$$

$$f = \frac{k[(\phi' - \phi)(\beta - \phi) - k\phi]}{(\phi - \phi')^2}$$

$$g = \frac{(k-2\beta)\phi - (k-\beta)(k+\phi') + \beta(\phi-k)(\phi/\phi')}{[1-(\phi'/\phi)]^2}$$

그런데 overhead product 中의 mvc 의 濃度가 대단히 높은 境遇에 計算上 $\phi - \phi' \cong k$ 로 略算되므로 $c = -\beta$, $d = -k$, $f = -\beta$, $g = 0$ 이다.

이 結果를 式(15)에 適用하면 다음과 같은 간단한 型의 式을 얻을 수 있다.

$$-\beta \ln \frac{\chi_s}{1-\chi_s} - \frac{k}{1-\chi_s} = \left(\frac{V}{R+1} \right) \theta + C \quad (16)$$

式(16)에 初期條件($\theta \rightarrow 0$ 일 때, $\chi_s \rightarrow \chi_{s0}$)을 代入하여 積分常數를 求한 後 整理하면 다음과 같은 式을 얻는다.

$$\beta \ln \frac{\chi_{s0}(1-\chi_s)}{\chi_s(1-\chi_{s0})} + \frac{k(\chi_{s0}-\chi_s)}{(1-\chi_s)(1-\chi_{s0})} = \left(\frac{V}{R+1} \right) \theta \quad (17)$$

3. 實驗方法

裝置는 Oldershaw 型回分式精溜裝置(SIBATA, HO-7000)를 使用했으며, 이의 略圖는 Fig. 2 와 같다.

Holdup 을 測定하기 為하여 別途로 Oldershaw의 holdup 測定裝置¹³⁾를 製作하여 column 과 still pot 사이에 裝置하여 holdup 을 따로 測定하였다²⁷⁾. 試料는 benzene-toluene 과 benzene-carbon tetrachloride의 2成分系를 使用했으며, 이들의 charge composition 은 Table 1에 나타낸 바와 같다. 實驗은 still pot(容量 2l)

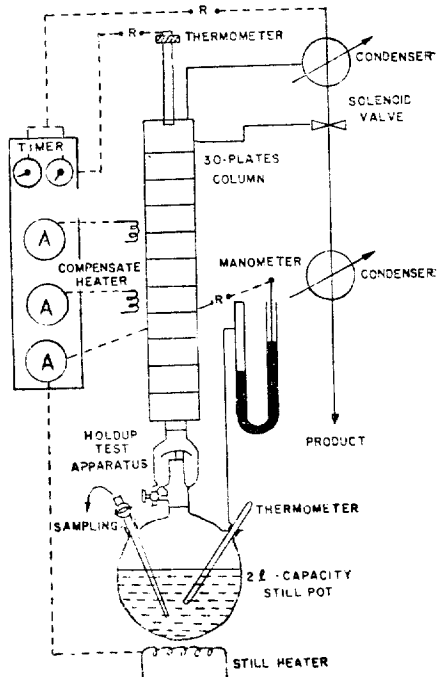


Fig. 2. Schematic Diagram of the Equipment.

Table 1. The Composition of Sample Charged

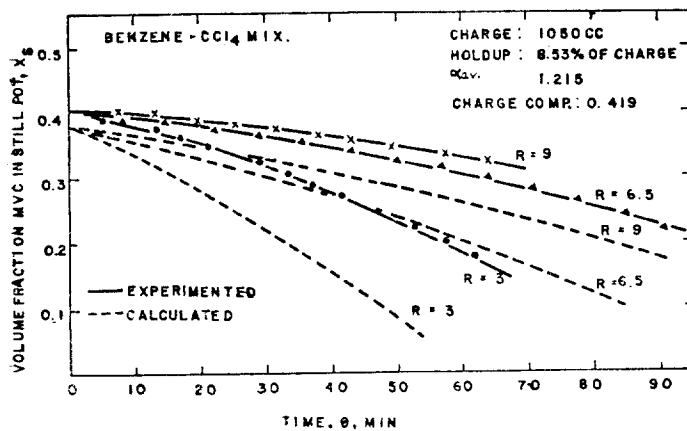
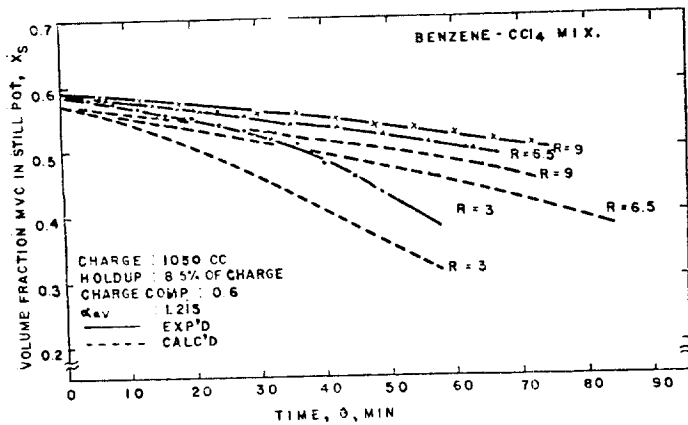
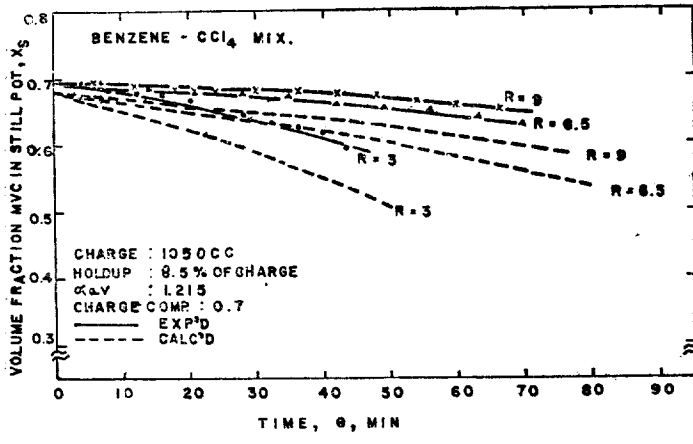
Sample No.	Binary mixture	Amount of the Sample Charged S_f , cc	Composition		Average Relative Volatility α_{av}
			Volume fraction of mvc χ_f	Volume fraction of mvc χ_f	
A-1	Benzene-Toluene	400+800	0.333	2,410	
A-2	"	540+660	0.450	"	
A-3	"	720+480	0.600	"	
B-4	Benzene-CTC*	610+440	0.419	1,251	
B-5	"	630+420	0.600	"	
B-6	"	315+735	0.700	"	

* CTC; Carbon tetrachloride

에 一定量의 試料를 넣은 後, 全還流시켜서 定常狀態에 이르렀을 때 still pot 와 overhead에서 試料를 채취 測定하여 初期濃度(χ_{s0} 및 χ_{D0})로 定하고, 還流比를 1에서부터 9 까지 變化시키면서 操作하였다. Still pot 와 overhead에서 同時に 一定한 時間간격으로 채취한 試料는 Abbe refractometer 를 使用하여 分析하였다.

4. 實驗結果 및 考察

Benzene-CTC 二成分系에 對하여 먼저 全還流로 定常狀態에 이르게 한 後 全 holdup 을 charge 量의 8.5%, 蒸氣의 流速을 28 cc/min 으로 一定하게 維持시켜 還流

Fig. 3. χ_s vs. Time.Fig. 4. χ_s vs. Time.Fig. 5. χ_s vs. Time

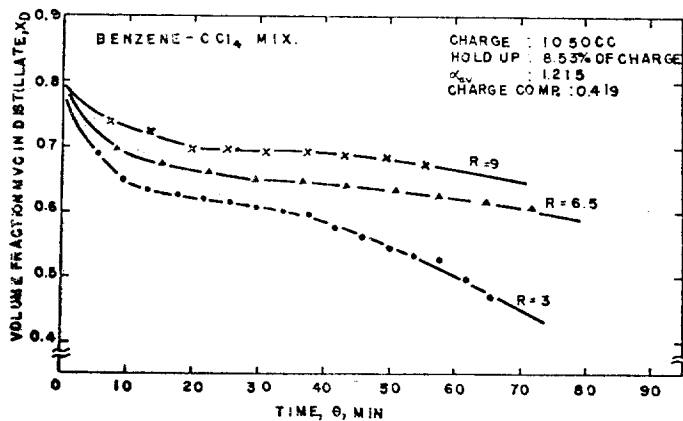
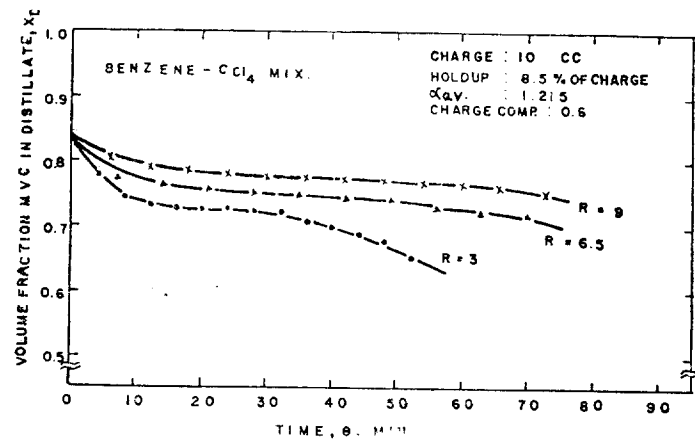
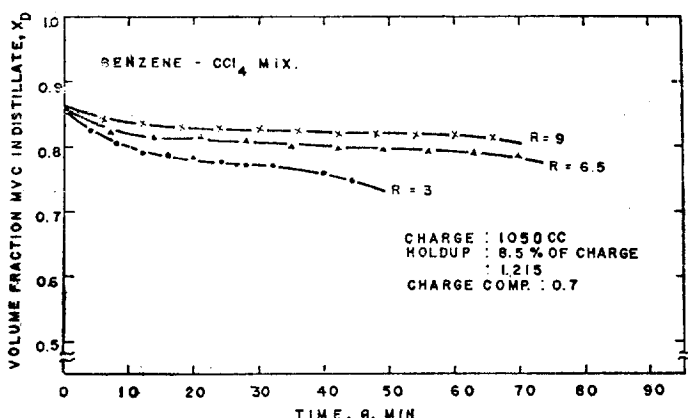
比를 3, 6.5, 9로變化시키면서回分蒸溜할 때操作時間에對한 still pot內의 *mvc*濃度 χ_s 의變化를 Fig. 3~5에 나타냈다.

Overhead product中의 *mvc*濃度 χ_D 의變化(χ_D vs *t*)는 Fig. 6~8에圖示하였다.

Benzene-Toluene 2成分系에對하여全holdup을 charge量의 9.41%, 蒸氣의流速을 35.3 cc/min으로維持시키고, 還流比를 1, 2, 4,로變化시키면서蒸溜하여操作時間에對한 still pot內의 χ_s 의變化를 Fig. 9~11에 나타냈고 overhead product中의 *mvc*濃度變化를 Fig. 12~14에圖示하였다.

Fig. 3~5에서 보면操作時間이經過함에 따라still pot內의 *mvc*濃度는實驗値가計算値보다큰값을나타내고있으며, 이는時間이經過함에따라그差가점점커지고있다. 이것은overhead product中의濃度가높은條件下에서誘導된이론식과比較하였기때문이다. 즉實驗結果overhead product中의 *mvc*濃度가낮음으로 χ_s 의값은計算値보다높았고이오차는Fig. 6~8에서볼수있는바와같이時間이經過함에따라커지고있다. 그러나時間變化에따른 χ_s 의變化는計算値와같은傾向을나타내고있다.

한편還流比와charge composition이增加할수록 그差는적어진다. Benzene-CTC系의蒸溜에있어서overhead product中의 *mvc*의濃度를95%以上얻는 데는50段¹⁸⁾의column과그各段의efficiency이좋아야함은 이미文獻²²⁾에

Fig. 6. X_D vs. Time.Fig. 7. X_D vs. Time.Fig. 8. X_D vs. Time.

소개되어 있다. 그러나 이 연구에서는 30段의 column을 사용했고 段効率을 100%로 假定한데서 오는 誤差때문에 그와 같은 deviation이 招來되었다고 생각된다. 한편 charge-composition이 增加 할수록 實驗値과 理論値 사이의 誤差가 적어짐은 Fig. 6~8에서 볼 수 있는 바와 같이 蒸溜되는 동안 overhead product 中의 mvc濃度가 상당히 증가하고 있기 때문이다. Benzene-toluene系에서는 Fig. 9~11에서 볼 수 있는 바와 같이 操作初期에 있어서 計算値가 實驗値보다若干를 程度일 뿐 거의 一致하고 있다. 그러나 charge中의 mvc濃度가 증가하면 差異가 생겨서 計算値는 實驗値보다 큰 값을 갖게 된다.

이러한 傾向은 勿論 column의 特性과 相對揮發度 α 및 holdup에 영향을 받는다고도 생각되나 特히 操作 初期에 있어서 段數에 依한 影響을 받아 생긴 오차라고 생각된다. 그리고 段數가 必要 段數 보다 많으므로 overhead product의 mvc가 體積分率로 0.98의 높은濃度가 된다. 이런 경우 still pot內의 benzene이 大部分 column內로 移動되어 still pot로의 downstream中의 benzene의量이 減少된다. 따라서 Fig. 12에서 보는 바와 같이 charge-composition이 0.333인 경우 reflux ratio가 1일 때 15分, 2일 때 25分, 4일 때 40分부터는 overhead product 中의 mvc濃度는 急減하기始作한다. 즉 charge composition이 增加하면 mvc濃度가 急減되어지는 時間은 길어지게 마련이고,一般的으로 各 reflux

ratio에 對하여 5分 내지 20여분이 연장되고 있다.

일반적으로 benzene-CTC系에 있어서는 reflux ratio나 charge composition이 增加하면 product中의 mvc濃度가 증가하고 있다. (Fig. 6~8 참조)

Benzene-toluene系에 對해서는 reflux ratio나 charge composition이 증가한다 하더라도 overhead product의 mvc濃度는 97~98%로 유지되고 단지 overhead product中의 mvc濃度가 急減되는 時間이 reflux

ratio와 charge composition의 증가에 比例하여 연장되고 있음을 알 수 있다. (Fig. 12~14)

5. 結論

非定常狀態下에서의 回分式蒸溜工程의 分離度를 究明하기 為하에 操作時間經過에 따른 still pot內의 mvc의濃度變化에 관한 이론식을 誘導하고 이를 benzene CTC와 benzene-toluene系를 사용한 實驗치와 비교한 바 다음과 같은 結果를 얻었다.

1. Mathematical model을 선정하고 필요한 假定下에서, still pot內에서의 mvc의 操作時間에 對한 變化를 分離速度로 定義하고 理論的으로 誘導한 式은 다음과 같다.

$$\beta \ln \frac{\chi_{so}(1-\chi_s)}{\chi_s(1-\chi_{so})} + \frac{k(\chi_{so}-\chi_s)}{(1-\chi_s)(1-\chi_{so})} = \left(\frac{V}{R+1} \right) \theta$$

그리고前述한 式으로 부터의 計算值와 實驗值를 比較한 結果 overhead product中의 mvc濃度가 를 때에 上記한 式은 實驗值와 잘一致하였다.

2. Benzene-toluene系에 있어서 本研究에 使用한 column內에서는 計算值와 實驗值는 一致하고 있다. Overhead Product의 composition은 reflux ratio나 charge composition의 增加에는 關係 없이 일정한 χ_D 를 維持되었고 상당한 時間經過後에는 overhead product中의 mvc濃度(χ_D)는 急激히 減少하는 傾向을 나타내었다. 反面, benzene-CTC系에 對하에서는 段數의 影響과 overhead product中의 mvc濃度가 낮기 때문에 計算值와 實驗值는 상당한 誤差가 생겼으나 reflux ratio와 charge composition이 증가 할수록 그 誤差는 減少하고 있다.

付記：本研究는 延世大學校總長研究費로서 遂行한 것임.

NOMENCLATURE

C, K =Integration constant

CTC=Carbon tetrachloride

D =Rate of overhead product removal, cc/min.

h =Total holdup of MVC in the entire column, cc

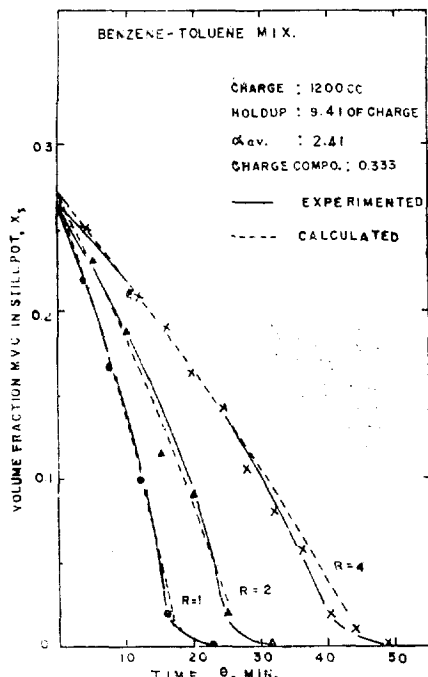


Fig. 9. χ_s vs. Time.

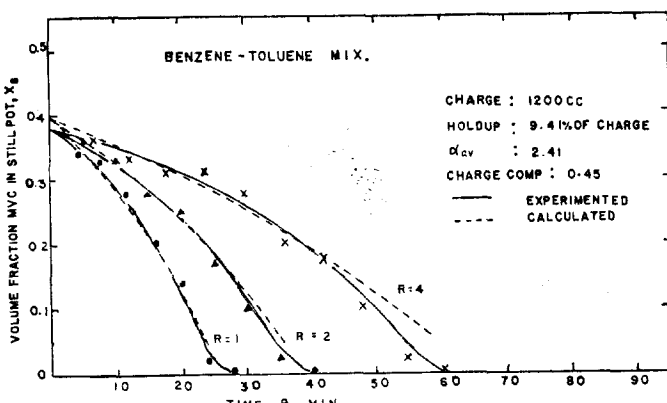
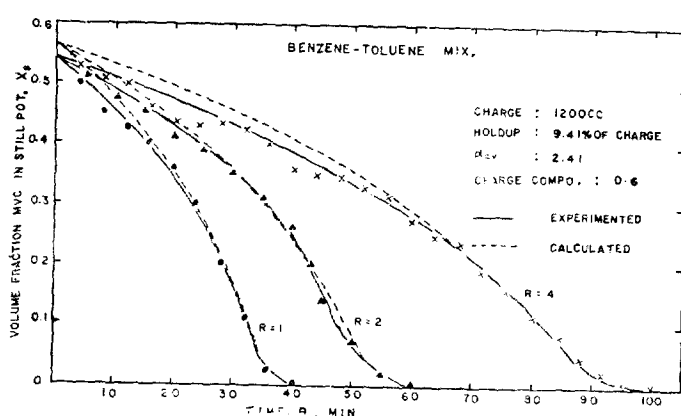
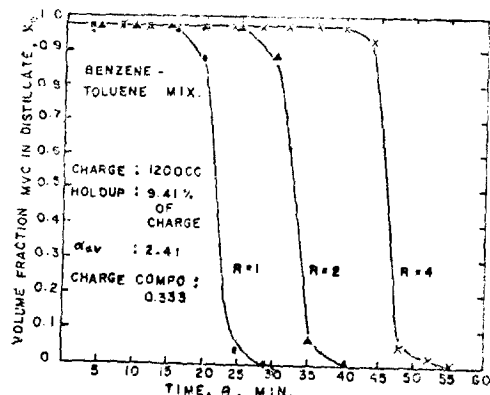
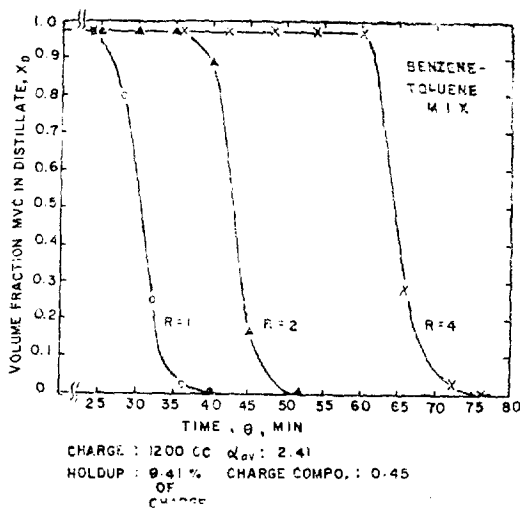


Fig. 10. χ_s vs. Time.

Fig. 11. x_D vs. Time.Fig. 12 x_t vs. Time.Fig. 13 x_D vs. Time

H =Liquid holdup on each plate, cc
 L =Rate of liquid flow, cc/min.

MVC =More volatile component

n

R =Reflux ratio, L/D

R =Relay (Fig. 2)

S =Liquid remaining in still pot, cc

t =Number of plates

V =Rate of vapor flow, cc/min

x =Volume fraction of MVC in liquid phase

y =Volume fraction of MVC in vapor phase

α =Relative volatility

θ =Time, min

Subscripts

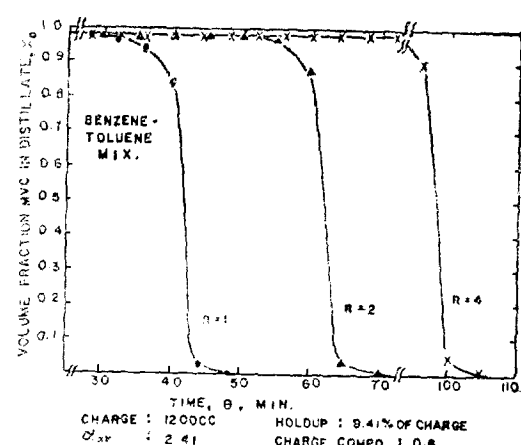
av =for average

D =for distillate

F =for feed charged to still

n =for number of any plate counting from the still pot
 o =for initial value when equilibrium has been reached
but before any product is removed ($\theta=0$)

s =for still pot

Fig. 14. x_D vs. Time

LITERATURE CITED

1. Bragg, I. B., *Ind. Eng. Chem.*; Anal. Ed., 11, No. 5, 283 (1939).
2. Brown and Martin, *Am. Inst. Chem. Engrs.*, 35, 679 (1939).
3. Converse, A. O. and Gross, G. D., *I. & E. C. Fundamentals*, 2, No. 3, 217 (1963).
4. Colburn, A. P. and Stearn, R. F., *Am Inst. Chem. Engrs.*, 37, 291 (1941).
5. Distefano, G. P., *Am. Inst. Chem. Engrs.*, 14, Jan., 190 (1968).
6. International Critical Tables, McGraw-Hill Book Co., Inc., New York, 7, 77 (1930).
7. Jesser and Elgin, *Am. Inst. Chem. Engrs.*, 39, 277 (1943).
8. Johnstone, R. E., *Ind. Eng. Chem.*, 35, No. 4, 407 (1943).
9. Lewis, *Ind. Eng. Chem.*, 14, 492 (1922).
10. Mapstone, G. E., *British Chem. Eng.*, (c182), B15 : 220(99) (1970).
11. Marcel, J. P., *Am. Inst. Chem. Engrs.*, 33, 139 (1937).
12. McCabe and Thiele, *Ind. Eng. Chem.*, 17, 605 (1925).
13. Oldershaw, *Ind. Eng. Chem.*, Anal. Ed., 13, 265 (1941).
14. Perry Handbook, McGraw-Hill, 3/e, New York, p. 580 (1950).
15. Pigford, R. L., Tepe, J. B., and Garrahan, C. J., *Ind. Eng. Chem.*, 43, No. 11, 2952 (1951).
16. Rayleigh, *Phil. Mag.*, 4, 521 (1902).
17. Rose and Elizabeth Rose, et al., "Distillation", Interscience Publishers Inc., New York, p. 147 (1951).
18. Ibid, p. 169.
19. Ibid, p. 47,, p. 106.
20. Rose, A., et al., *Ind. Eng. Chem.*, 32, No. 5, 673 (1940).
21. Ibid, 42, No. 9, 1876 (1950).
22. Rose, A., Curtis Johnson and Theodore, *Chem. Eng. Progr.*, 48, No. 11, 549 (1952).
23. Rose, A and Curtis Johnson: ibid., 49, No. 1, 15 (1953).
24. Rose, A., Curtis Johnson and Williams J., ibid., 42, No. 10, 2145 (1950).
25. Rose, A., and Harry, H., *Ind. Eng. Chem.*, 33, 684 (1941).
26. Rose, A., and Lewis M. Welshane, ibid., 32, No. 5, 668 (1940).
27. Rose, A., and Victor J. O'Brin, ibid., 44, No. 6, 1480 (1952).
28. Rose, A., ibid., 33, 594 (1941).
29. Ibid., 42, No. 10, 2145 (1950).
30. Smoker, *Am. Inst. Chem. Engrs.*, 34, 165 (1938).
31. Smoker and Rose A., 36, 285 (1940).
32. Young, "Distillation Principles and Process", Macmillan, London, p. 117 (1922).